

# Interazioni deboli

## Decadimento beta

$$n \rightarrow p + e^- + \bar{\nu}_e$$

$$d \rightarrow u + e^- + \bar{\nu}_e$$

$${}^3\text{H} \rightarrow {}^3\text{He} + e^- + \bar{\nu}, {}^6\text{He} \rightarrow {}^6\text{Li} + e^- + \bar{\nu}$$

Se l'impulso trasferito è piccolo

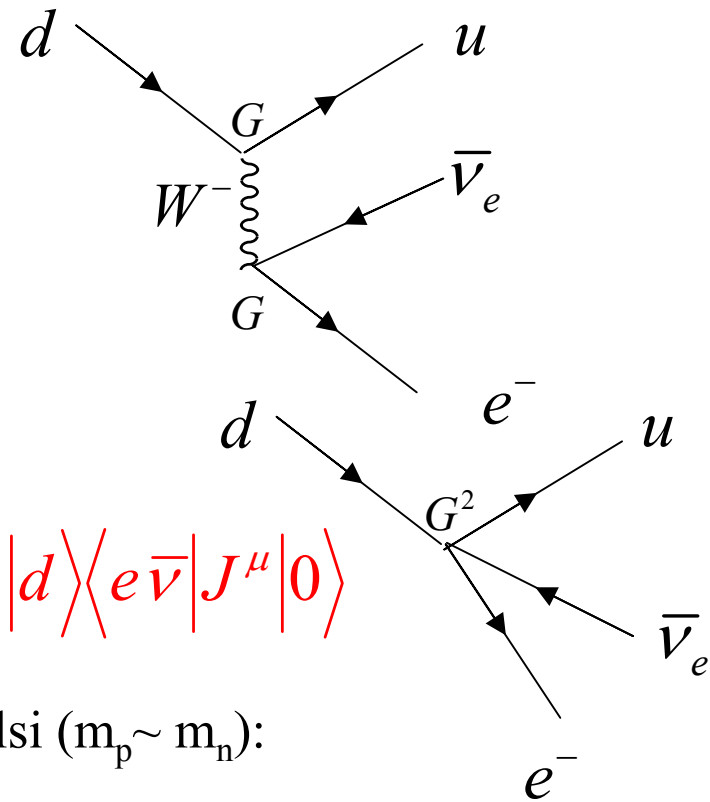
è un'interazione di contatto tra

le correnti (Fermi):

$$M = \frac{G}{\sqrt{2}} \langle u | J_\mu | d \rangle \langle e \bar{\nu} | J^\mu | 0 \rangle$$

Trascurando la dipendenza di M dagli impulsi ( $m_p \sim m_n$ ):

$$M = G = 1.166 \cdot 10^{-5} \text{ GeV}^{-2}$$



La probabilità di transizione W (regola d'oro) dipende solo dallo spazio delle fasi:

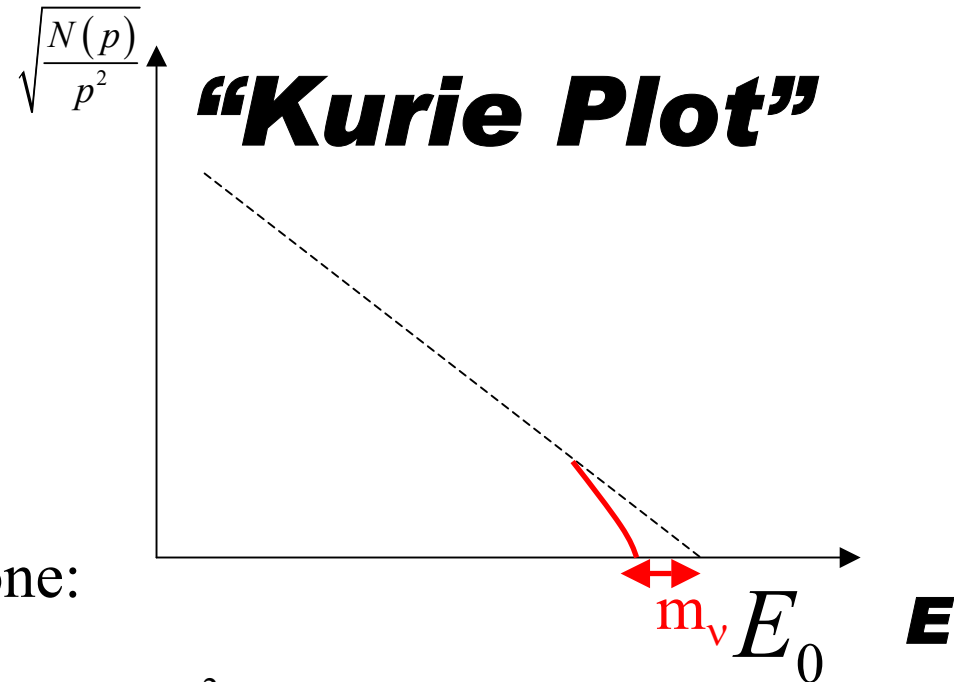
$$W = 2\pi |M|^2 \frac{dN}{dE_0} (E_0 = E_p + E_{\bar{\nu}} + E_e) \quad (\text{l'energia è trasportata solo da } e \text{ e } \nu)$$

$$\frac{dN}{dE_0} = 16\pi^2 p^2 (E - E_0)^2 dp; N_e(p) dp = p^2 (E - E_0)^2 dp;$$

$$N_e(p) dp = p^2 (E - E_0)^2 \sqrt{1 - \left(\frac{m_\nu}{E_0 - E}\right)^2} dp \quad (\text{se } m_\nu \neq 0)$$

# Spettro di energia dell'elettrone

Dallo spettro del trizio:  
 $m_\nu < 3$  eV (95 % C.L.)



La probabilità totale di transizione:

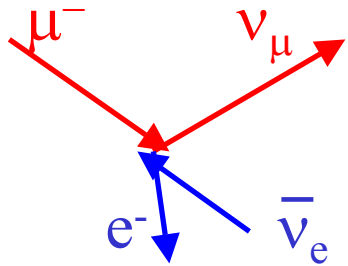
$$W = \frac{G^2}{2\pi^3} \int_0^{p_{\max}} N(p) dp \propto G^2$$

Se l'elettrone è relativistico:  $N(E)dE = E^2(E_0 - E)^2 dE \Rightarrow N = \int_0^{E_0} N(E)dE = \frac{E_0^5}{30}$   
 $\Rightarrow W \propto G^2 E_0^5$ ,  $E_0 = \text{energia max dell'elettrone} = m_n - m_p$

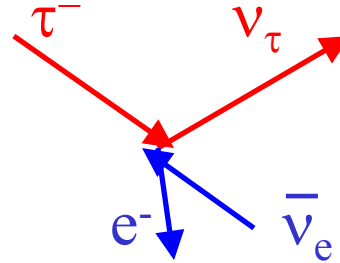
G si estrae dalle probabilità di transizioni (vite medie) in funzione di  $E_0$ :  
 Le vite medie dei decadimenti beta variano da secondi a anni ( $E_0^5$ )

# Le correnti deboli cariche

Esistono (oltre quella elettronica) altri 2 tipi di correnti deboli cariche:



$$: \mu^- \rightarrow e^- \nu_\mu \bar{\nu}_e$$



$$: \tau^- \rightarrow e^- \nu_\tau \bar{\nu}_e$$

Questo porta all'introduzione di tre doppietti leptonici  $\begin{bmatrix} e^- \\ \nu_e \end{bmatrix}, \begin{bmatrix} \mu^- \\ \nu_\mu \end{bmatrix}, \begin{bmatrix} \tau^- \\ \nu_\tau \end{bmatrix} + \text{antiparticelle}$

**Evidenza sperimentale: solo gli stati con elicità negativa partecipano alle interazioni deboli.**  $(\lambda = \frac{\vec{s} \cdot \vec{p}}{|\vec{p}|} = \pm \frac{1}{2} \text{ se } s = 1/2)$

Si incorpora nella teoria con il fattore  $(1-\gamma_5)$  nella corrente (V-A).  **$(1-\gamma_5)$  è un proiettore di elicità negativa.** In QED invece ho entrambi gli stati di elicità

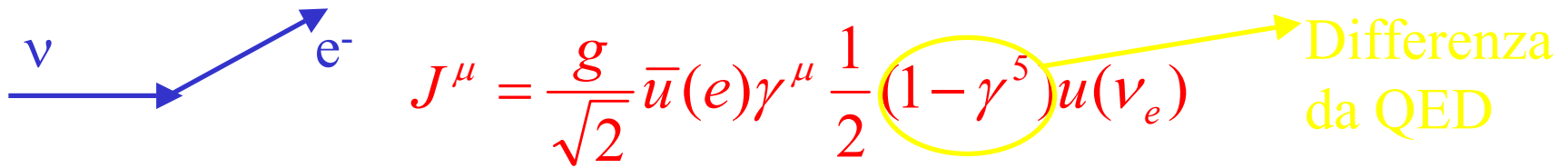
$$\gamma^5 = i\gamma^0\gamma^1\gamma^2\gamma^3 = \begin{bmatrix} 1 & 0 \\ 0 & -1 \end{bmatrix}, \gamma^\mu \equiv \text{vettore}; \gamma^\mu \gamma^5 \equiv \text{vettore assiale}$$

$$\frac{1}{2}(1-\gamma^5) = \begin{bmatrix} 0 & 0 \\ 0 & 1 \end{bmatrix} \Rightarrow \text{seleziona le due componenti in basso dello spinore:}$$

**N.B.** L'elicità  $\lambda$  è un buon numero quantico (Lorentz) solo per particelle di massa nulla (neutrini?)

$$\left. \begin{bmatrix} u_1 \\ u_2 \\ u_3 \\ u_4 \end{bmatrix} \right\}$$

La corrente leptonica debole :

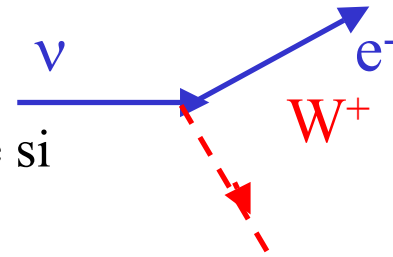


$$J^\mu = \frac{g}{\sqrt{2}} \bar{u}(e) \gamma^\mu \frac{1}{2} (1 - \gamma^5) u(\nu_e)$$

Differenza da QED

L'interazione puntuale alla Fermi crea problemi di unitarietà e, d'altra parte sappiamo che le interazioni deboli hanno range limitato  $\implies$   
 $\implies$  Propagatore bosonico massivo.

Le regole di Feynman per la costruzione delle ampiezze si modificano rispetto a QED:

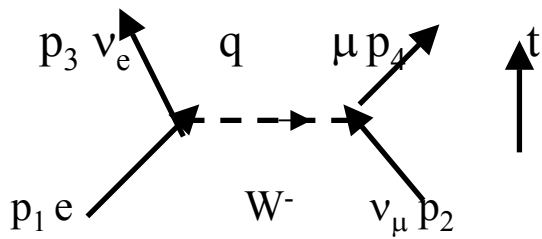


1) Propagatore:  $-i \frac{(g_{\mu\nu} - q_\mu q_\nu / M^2)}{q^2 - M^2} \xrightarrow{q^2 \ll M^2} i \frac{g_{\mu\nu}}{M^2}$  (in QED era  $-i \frac{g_{\mu\nu}}{q^2}$ )

2) fattore di vertice:  $\frac{g_W}{2\sqrt{2}} \gamma^\mu (1 - \gamma^5)$ ,  $g_W = \sqrt{4\pi\alpha_W}$  (in QED era  $-ie\gamma^\mu$ )

Es. Il decadimento inverso del  $\mu$  :

$$\nu_\mu + e^- \rightarrow \mu^- + \nu_e \text{ (analogo a } \mu e \rightarrow \mu e \text{ in QED)}$$



$q = p_1 - p_3$ ; se  $q^2 \ll M_W^2$ , il propagatore si semplifica:  $\frac{ig_{\mu\nu}}{M_W^2}$

$$M = i \frac{g_W^2}{8M_W^2} \left\{ \bar{u}(3) \gamma^\mu (1 - \gamma^5) u(1) \right\} \left\{ \bar{u}(4) \gamma^\mu (1 - \gamma^5) u(2) \right\}$$

Oppure con la notazione di Fermi (G) e la modifica alla corrente  $(1 - \gamma^5)$

$$M = \frac{G}{\sqrt{2}} \left\{ \bar{u}(3) \gamma^\mu \frac{(1 - \gamma^5)}{2} u(1) \right\} \left\{ \bar{u}(4) \gamma^\mu \frac{(1 - \gamma^5)}{2} u(2) \right\} \text{ con } \frac{G}{\sqrt{2}} = \frac{g_W^2}{8M_W^2}$$

Modulo quadro dell'ampiezza, mediata sugli spin iniziali e sommata su quelli finali

$$|M|^2 = 2 \left( \frac{g_W}{M_W} \right)^4 (p_1 \cdot p_2)(p_3 \cdot p_4) = 2 \left( \frac{g_W}{M_W} \right)^4 (p_1 \cdot p_2)^2 = 2 \left( \frac{g_W}{M_W} \right)^4 s^2 = 64G^2 s^2$$

Cfr. Nel caso di QED  $\mu + e \rightarrow \mu + e$

$$|M|^2 = 8 \frac{e^4}{t^2} \{s^2 + u^2\}$$

Nel c.m. le particelle hanno tutte energia E (trascurando le masse) quindi  $s=(2E)^2$  La regola d'oro per le interazioni  $1+2 \rightarrow 3+4$ :

$$\frac{d\sigma}{d\Omega} = \left(\frac{1}{8\pi}\right)^2 \frac{|M|^2}{(E_1 + E_2)^2} \frac{|\vec{p}_f|}{|\vec{p}_i|} = \frac{1}{2} \left[ \frac{g_W^2 E}{4\pi M_W^2} \right]^2, \text{ indipendente dall'angolo di scattering}$$

La sezione d'urto differenziale si può scrivere anche in funzione di  $t=2E^2(\cos\theta-1)$ :

$$dt = 2E^2 d \cos \theta \Rightarrow \frac{d\sigma}{dt} = \frac{1}{2E^2} 2\pi \frac{d\sigma}{d\Omega} = \frac{1}{32\pi} \frac{g_W^4}{M_W^4} = \frac{G^2}{\pi}$$

Si può integrare su t:  $-4E^2 = -s < t < 0$ :  $\sigma = \int_{-s}^0 \frac{G^2}{\pi} dt = \frac{G^2}{\pi} s$

La sezione d'urto differenziale è isotropa;

la sezione d'urto totale cresce come s.

L'ampiezza di  $\nu_\mu + e^- \rightarrow \mu^- + \nu_e$  per simmetria di crossing mi fornisce anche quella del decadimento:  $\mu^- \rightarrow \nu_\mu + e^- + \bar{\nu}_e$  da cui:

$$\frac{1}{\Gamma_\mu} \equiv \tau_\mu = \frac{192\pi^3}{G^2 m_\mu^5}$$

Dalla misura di  $\tau_\mu$  ( e dalla conoscenza di  $m_\mu$ ) si estrae il valore di G

La dipendenza da  $m^{-5}$  è tipica di ogni decadimento debole (trascurando le masse finali).

Risultato sperimentale:  $\tau_\mu = 2.197 \cdot 10^{-6}$  s,  $m_\mu = 0.105658$  GeV  $\implies$

$$G = 1.166 \cdot 10^{-5} \text{ GeV}^{-2}$$

$$\text{con } \frac{G}{\sqrt{2}} = \frac{g_W^2}{8M_W^2}, M_W \approx 80 \text{ GeV} \implies g_W = 0.66, \alpha_W = \frac{g_W^2}{4\pi} = \frac{1}{129}$$

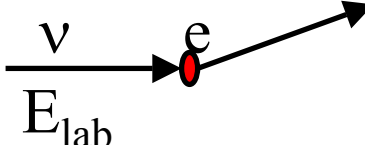
Le interazioni deboli sono tali non tanto perchè la costante di accoppiamento sia debole, quanto perchè il mediatore (W) è molto pesante e il termine di massa nel propagatore (a bassi  $Q^2$ ) domina.

Se  $Q^2 \sim M_W^2$  ( $80 \text{ GeV}$ )<sup>2</sup> le interazioni deboli diventano paragonabili a quelle elettromagnetiche:

**UNIFICAZIONE?**

Torniamo a  $\nu_\mu + e^- \rightarrow \mu^- + \nu_e$  :

$$\sigma = \frac{G^2}{\pi} s \xrightarrow{c.m.} \frac{4}{\pi} E^2 = 1.48 \cdot 10^{-10} \text{ GeV}^{-2} \cdot E^2 \quad (E \text{ in GeV}) \approx 0.576 \cdot 10^{-37} \text{ cm}^2 \cdot E^2$$

Normalmente la reazione avviene nel laboratorio: 

$$s = (2E)^2 = (E_{lab} + m_e)^2 - E_{lab}^2 \cong 2m_e E_{lab} \Rightarrow E_{lab} \cong \frac{2E^2}{m_e} \quad (E = 1 \text{ GeV} \Rightarrow E_{lab} \approx 4000 \text{ GeV})$$

$$\sigma_{lab} = \frac{4}{\pi} G^2 \frac{m_e E_{lab}}{2} \text{ cresce linearmente con } E_{lab} : \frac{\sigma_{lab}}{E_{lab}} = 1.5 \cdot 10^{-42} \text{ cm}^2 \text{ GeV}^{-1}$$

Più probabile l'interazione tra neutrino e nucleone di massa M (puntiforme?)

$$\sigma_{lab} = \frac{4}{\pi} G^2 \frac{ME_{lab}}{2} \Rightarrow \frac{\sigma_{lab}}{E_{lab}} = 0.3 \cdot 10^{-38} \text{ cm}^2 \text{ GeV}^{-1}$$

L'interazione con i nucleoni è più probabile perchè a parità di energia incidente dei neutrini  $s=2ME_{lab}$  a causa del fatto  $M \sim 2000 m_e$  è 2000 volte più grande.

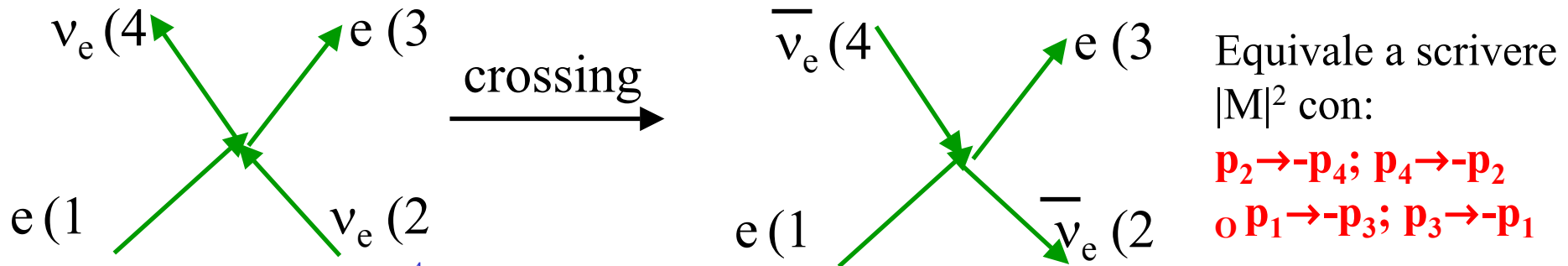
# Neutrini e antineutrini

Consideriamo l'ampiezza del processo:  $\nu_\mu + e^- \rightarrow \mu^- + \nu_e$

$$|M|_v^2 = 2 \left( \frac{g_W}{M_W} \right)^4 (p_1 \cdot p_2)(p_3 \cdot p_4) = 64G^2 (p_1 \cdot p_2)(p_3 \cdot p_4)$$

Tale ampiezza vale anche per l'interazione  $\nu_e + e^- \rightarrow e^- + \nu_e$

Consideriamo ora  $\bar{\nu}_e + e^- \rightarrow e^- + \bar{\nu}_e$  (o anche  $\bar{\nu}_e + e^- \rightarrow \mu^- + \bar{\nu}_\mu$ ) crossing



quindi  $|M|_v^2 = 2 \left( \frac{g_W}{M_W} \right)^4 (p_1 \cdot p_4)(p_3 \cdot p_2)$ ; ma  $u = (p_1 - p_4)^2 = (p_2 - p_3)^2 = -2p_1p_4 = -2p_2p_3$

quindi:  $|M|_v^2 = 16G^2 u^2 \Rightarrow \frac{d\sigma}{d\Omega}(\bar{\nu}) = \frac{1}{8\pi} \frac{1}{s} |M|_v^2 = \frac{G^2}{4\pi^2} \frac{u^2}{s} \xrightarrow{c.m.} \frac{G^2}{4\pi^2} \frac{s}{2} (1 + \cos\theta)^2$

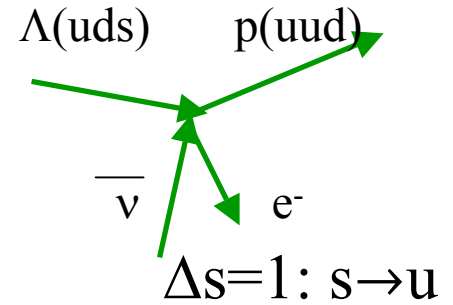
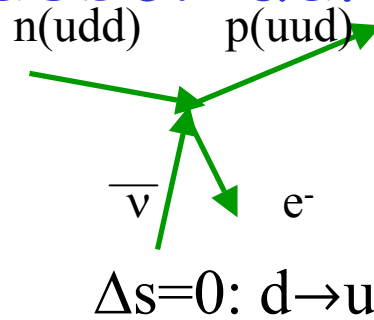
La distribuzione angolare per interazioni di antineutrini:

**NON è isotropa (nel c.m.); si annulla per  $\theta=\pi$  e viola la parità.**

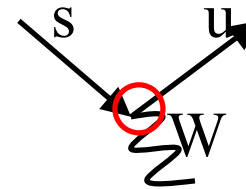
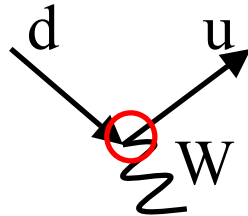
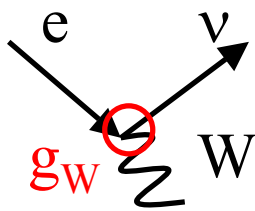
Integrando in  $\cos\theta$ :  $\sigma^{\bar{\nu}} = \frac{G^2}{3\pi} s = \frac{1}{3} \sigma^{\nu}$

# Correnti deboli adroniche

Due tipi di decadimento beta del n e della  $\Lambda$ :



**UNIVERSALITA'** del decadimento beta?



Leptonico:  $g_W$       adronico  $\Delta S=0$   $g_W \cos \theta_c$       adronico  $\Delta S=1$   $g_W \sin \theta_c$

Cabibbo:  $\sin \theta_c = 0.23$  ( $\theta = 13^\circ$ ) sperimentale.

Struttura della corrente ancora (V-A)  $(1-\gamma_5)$ . Ma gli stati dei quark

da usare sono:

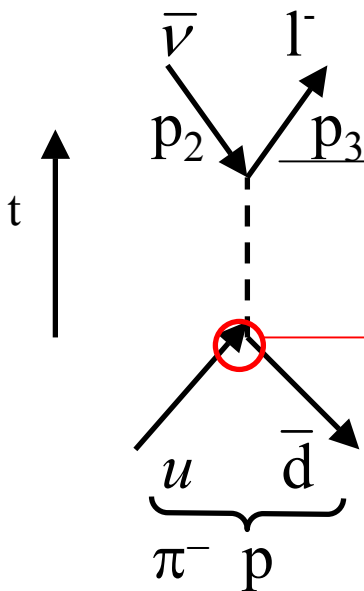
$$\begin{aligned} d' &= d \cos \theta + s \sin \theta \\ s' &= -d \sin \theta + s \cos \theta \end{aligned} \quad \begin{bmatrix} d' \\ s' \end{bmatrix} = \begin{bmatrix} \cos \theta & \sin \theta \\ -\sin \theta & \cos \theta \end{bmatrix} \begin{bmatrix} d \\ s \end{bmatrix}$$

Come nel caso leptonico l'interazione debole accoppia i due elementi di un doppietto:

es. Il I:

$$\begin{bmatrix} u \\ d' \end{bmatrix} \text{ è equivalente a } \begin{bmatrix} \nu_e \\ e^- \end{bmatrix}$$

# Decadimento $\pi^- \rightarrow l^- \bar{\nu}_e$



Corrente debole leptonica

corrente debole adronica con  
correzioni per interazioni forti  
dei quark

$$M = \frac{g_W^2}{8M_W^2} [\bar{u}(3)\gamma_\mu(1-\gamma_5)v(2)] F^\mu$$

$F^\mu$  = fattore di forma:  
Accoppiamento  $\pi/W$

Unica possibilit :  $F^\mu = f_\pi \mathbf{p}_\mu$  con  $f_\pi$  uno scalare ( $m_\pi$  ?)

Modulo quadro di M e somma sugli spin finali (Griffiths):

$$|M|^2 = \frac{1}{8} \left[ f_\pi \left( \frac{g_W}{M_W} \right)^2 \right]^2 \left\{ 2(pp_2)(pp_3) - p^2(p_2p_3) \right\} = (m_\nu = 0) = \frac{1}{8} \left[ f_\pi \left( \frac{g_W}{M_W} \right)^2 \right]^4 \frac{1}{2} m_l^2 [m_\pi^2 - m_l^2]$$

$$\text{regola d'oro nel c.m. (1} \rightarrow 2 + 3): \Gamma = \frac{1}{8\pi m_1} |M|^2 \frac{|\vec{p}_2|^2}{m_1}$$

$$\text{con } |\vec{p}_2| = \text{funzione triangolare} = \frac{1}{2m_1} [m_1^4 + m_2^4 + m_3^4 - 2m_2^2m_3^2 - 2m_1^2m_2^2 - 2m_1^2m_3^2]^{1/2}$$

$$\Rightarrow \Gamma_\pi = \frac{f_\pi^2}{\pi m_\pi^3} \left[ \frac{g_W}{4M_W} \right]^4 m_l^2 [m_\pi^2 - m_l^2]^2$$

$$f_\pi = (?) = m_\pi \cos \theta_C; G^2 = 8 \left[ \frac{g_W}{4M_W} \right]^4; m_\pi = 140 \text{ MeV}, m_l = m_\mu = 106 \text{ MeV}, \theta_C = 13^\circ$$

$$\Gamma = 3.13 \cdot 10^{-17} \text{ GeV}; \frac{1}{\Gamma} = 2.2 \cdot 10^{-8} \text{ s}; \text{misurato } \frac{1}{\Gamma} = 2.6 \cdot 10^{-8} \text{ s}$$

### Osservazioni:

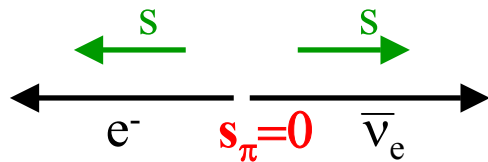
-L'assunzione  $f_\pi = m_\pi \cos \theta_C$  è arbitraria;

$$\frac{\Gamma(\pi^- \rightarrow e^- \bar{\nu}_e)}{\Gamma(\pi^- \rightarrow \mu^- \bar{\nu}_\mu)} = \frac{m_e^2 (m_\pi^2 - m_e^2)^2}{m_\mu^2 (m_\pi^2 - m_\mu^2)^2} = 1.28 \cdot 10^{-4} (\text{exp.: } 1.22 \cdot 10^{-4})$$

Lo spazio delle fasi  $R_2 = \frac{m_\pi^2 - m_l^2}{2m_\pi^2} \pi$  ( $R_2 = \int \frac{d\vec{p}_2}{2E_2(2\pi)^3} \frac{d\vec{p}_3}{2E_3(2\pi)^3}$ ) avrebbe favorito l'elettrone:  $\frac{R_2^e}{R_2^\mu} = \frac{m_\pi^2 - m_e^2}{m_\pi^2 - m_\mu^2} = 2.3$

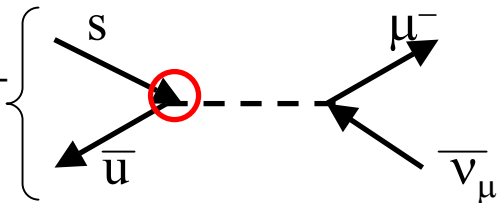
### L'abbattimento del decadimento elettronico viene dall'elemento di matrice:

L'antineutrino è autostato dell'elicità (+1) e l'elettrone è "costretto" ad avere l'elicità "sbagliata" (+1) la cui



probabilità è  $P(\lambda = +1) = 1 - \beta_{e^-} = \frac{2m_e^2}{m_\pi^2 + m_e^2}$  sfavorito rispetto al muone:

Analogamente per il decadimento:  $K^- \rightarrow \mu^- \bar{\nu}_\mu$



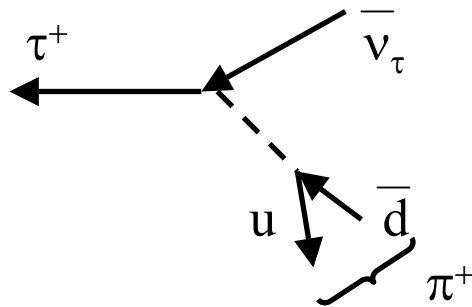
$$\Rightarrow \Gamma_K = \frac{G^2 \sin^2 \theta_C f_K^2}{8\pi} \frac{1}{m_K^3} m_\mu^2 [m_K^2 - m_\mu^2]^2$$

Torniamo al decadimento del  $\pi$ :  $\Gamma_\pi = \frac{G^2 \cos^2 \theta_C}{8\pi} \frac{1}{m_\pi} m_\mu^2 [m_\pi^2 - m_\mu^2]^2 (f_\pi = m_\pi \cos \theta_C)$

**Simmetria di crossing**  $\mu^+ \rightarrow \pi^+ \bar{\nu}_\mu$  Vietata però dallo spazio delle fasi.

Ma per il  $\tau$  ( $m_\tau \sim 1.800 \text{ GeV}$ ) è possibile:  $\tau^+ \rightarrow \pi^+ \bar{\nu}_\tau$

Nella  $\Gamma_\pi$  invertiamo la massa del pione con quella del leptone:



$$\Gamma(\tau^+ \rightarrow \pi^+ \bar{\nu}_\tau) = \frac{G^2 \cos^2 \theta_C}{8\pi} \frac{1}{m_\tau} m_\pi^2 [m_\tau^2 - m_\pi^2]^2$$

Attenzione: devo fare anche la media sugli spin iniziali:  $\Gamma_\tau \rightarrow \frac{1}{2} \Gamma_\tau = 2.8 \cdot 10^{-13} \text{ GeV}$

Ma  $\tau^+ \rightarrow \pi^+ \bar{\nu}_\mu$  è solo uno dei canali di decadimento possibili (B.R. 11%)

( $\tau \rightarrow e \nu \nu, \tau \rightarrow \mu \nu \nu, \tau \rightarrow \rho \nu, \tau \rightarrow \pi \pi \pi \nu, \dots$ )

$$\Gamma_{tot} = \frac{\Gamma_\pi}{B.R.} = 2.5 \cdot 10^{-12} \text{ GeV} \Rightarrow \tau_\tau = \frac{1}{\Gamma_{tot}} = 6.57 \cdot 10^{-25} \cdot 0.4 \cdot 10^{-12} = 2.7 \cdot 10^{-13} \text{ s}$$

sperimentale  $\tau_\tau = 2.9 \cdot 10^{-13} \text{ s}$

# Matrice di Cabibbo Kobayashi Maskawa (CKM)

1973: generalizzazione della teoria di Cabibbo con 3 doppietti di quark: almeno 3 generazioni sono necessarie per introdurre la violazione di CP.

$$\begin{pmatrix} d' \\ s' \\ b' \end{pmatrix} = V \begin{pmatrix} d \\ s \\ b \end{pmatrix} = \begin{vmatrix} V_{ud} & V_{us} & V_{ub} \\ V_{cd} & V_{cs} & V_{cb} \\ V_{td} & V_{ts} & V_{tb} \end{vmatrix} \begin{pmatrix} d \\ s \\ b \end{pmatrix}$$

La matrice V ha 9 elementi complessi:  
18 numeri: ma è unitaria:

$$V_{\alpha\beta}^+ V_{\beta\alpha} = \delta_{\alpha\beta} \text{ (9 equazioni)} \Rightarrow 9 \text{ elementi}$$

Fase arbitraria per ciascun campo:

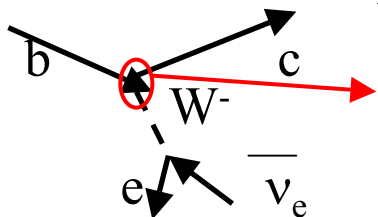
$9 - 3 \times 2 = 3$ , ma V è invariata per una fase

comune:  $3 + 1 = 4$  **elementi indipendenti**

Forma canonica (Kobayashi Maskawa) (tre angoli  $\theta_1, \theta_2, \theta_3$ , + fattore di fase  $\delta$ )

$$V = \begin{bmatrix} c_1 & s_1 c_1 & s_1 s_3 \\ -s_1 c_2 & c_1 c_2 c_3 - s_2 s_3 e^{i\delta} & c_1 c_2 c_3 + s_2 c_3 e^{i\delta} \\ -s_1 s_2 & c_1 s_2 c_3 + c_2 s_3 e^{i\delta} & c_1 s_2 s_3 - c_2 c_3 e^{i\delta} \end{bmatrix} \quad \begin{aligned} c_i &= \cos \theta_i \\ s_i &= \sin \theta_i \end{aligned}$$

N.B. La V non è predicibile ma i suoi elementi sono estraibili dai dati sperimentali:

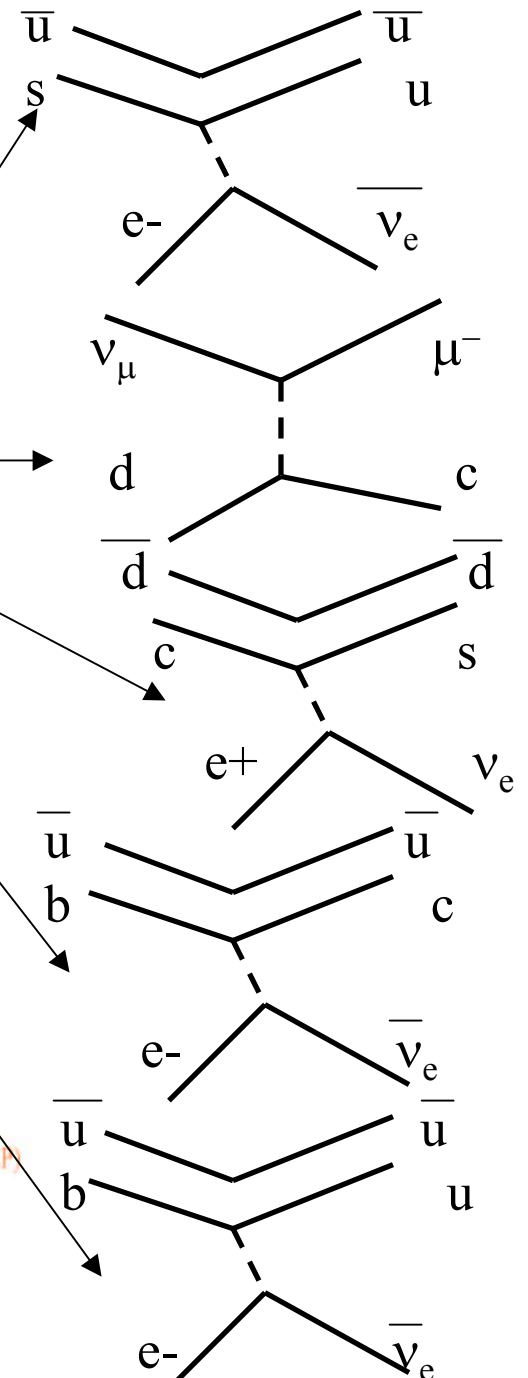


$$V_{cb} \quad \Gamma(b \rightarrow ce^- \bar{\nu}_e) = \frac{G^2 m_b^5}{192\pi} |V_{cb}|^2 F(m_c / m_b)$$

$F(m_c/m_b)$  è un fattore di spazio delle fasi (=1 nel caso si trascurino le masse finali)

# CKM

| CKM entry                             | Value                  | Source                              |
|---------------------------------------|------------------------|-------------------------------------|
| $ V_{ud} $                            | $0.9740 \pm 0.0005$    | Nuclear $\beta$ decay               |
|                                       | $0.9731 \pm 0.0015$    | $n \rightarrow p e^- \bar{\nu}_e$   |
|                                       | $0.9739 \pm 0.0005$    |                                     |
| $ V_{us} $                            | $0.2196 \pm 0.0026$    | $K \rightarrow \pi e^- \bar{\nu}_e$ |
| $ V_{cd} $                            | $0.224 \pm 0.016$      | $vd \rightarrow cX$                 |
| $ V_{cs} $                            | $1.04 \pm 0.16$        | $D \rightarrow \bar{K} e^+ \nu_e$   |
|                                       | $0.97 \pm 0.11$        | $W^+ \rightarrow c \bar{s}$         |
| $ V_{cb} $                            | $0.0421 \pm 0.0021$    | $B \rightarrow D^* l \bar{\nu}_l$   |
|                                       | $0.0414 \pm 0.0011$    | $b \rightarrow c l \bar{\nu}_l$     |
|                                       | $0.0416 \pm 0.0020$    |                                     |
| $ V_{ub} $                            | $0.0033 \pm 0.0005$    | $B \rightarrow \rho l \bar{\nu}_l$  |
|                                       | $0.0041 \pm 0.0006$    | $b \rightarrow u l \bar{\nu}_l$     |
|                                       | $0.0036 \pm 0.0005$    |                                     |
| $ V_{tb}  / \sqrt{\sum_q  V_{tq} ^2}$ | $0.97^{+0.16}_{-0.12}$ | $t \rightarrow bW / qW$             |



$$|V_{ud}|^2 + |V_{us}|^2 + |V_{ub}|^2 = 0.9967 \pm 0.0021$$

$$\sum_j (|V_{uj}|^2 + |V_{cj}|^2) = 2.039 \pm 0.025 \quad (\text{LEP})$$

# Valori sperimentali

$$V_{CKM} = \begin{vmatrix} V_{ud} = 0.975 & V_{us} = 0.221 & V_{ub} = 0.005 \\ V_{cd} = 0.221 & V_{cs} = 0.974 & V_{cb} = 0.04 \\ V_{td} = 0.01 & V_{ts} = 0.041 & V_{tb} = 0.999 \end{vmatrix} \quad \text{L'unitarietà connette valori differenti, es.}$$

$$|V_{cd}|^2 + |V_{cs}|^2 + |V_{cb}|^2 = 1$$

La matrice è quasi diagonale;

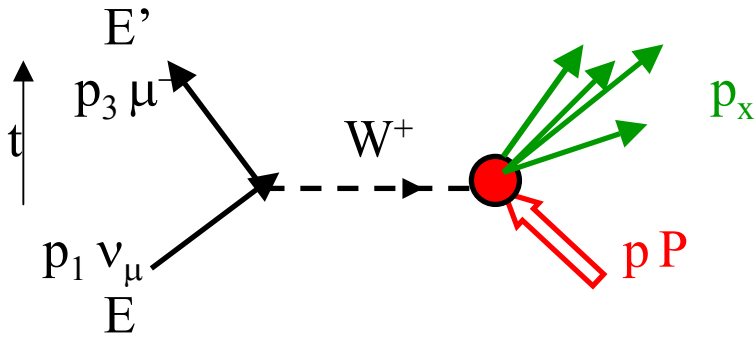
Gli elementi fuori diagonale delle III riga e della III colonna sono molto piccoli: la III generazione (t,b) è quasi disaccoppiata quindi la vita media dei b è “lunga” ( $\sim 10^{-12}$  s) a dispetto del grande spazio delle fasi disponibile ( $m_b^5$ ).

Ci sono altre generazioni di doppietti di quark?

Generalizzazione a n generazioni:  $\frac{n(n-1)}{2}$  angoli;  $\frac{(n-1)(n-2)}{2}$  fasi.

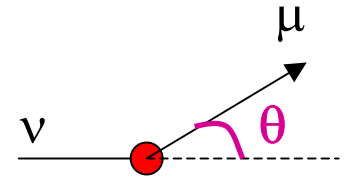
Ma abbiamo buone ragioni per pensare che ci siano solo 3 generazioni...

# I neutrini per studiare la struttura della materia



$\nu_\mu N \rightarrow \mu^- X$  **Misura inclusive:**  
**si somma su tutti gli stati X,**  
**ancora, come nel DIS da elettrone,**  
**due variabili indipendenti. (Griffiths)**

$$\frac{d\sigma}{dE' d\Omega} = \frac{G^2 E'^2}{2\pi^2} \left\{ 2W_1 \sin^2 \frac{\theta}{2} + W_2 \cos^2 \frac{\theta}{2} + \frac{E + E'}{M} \sin^2 \frac{\theta}{2} W_3 \right\}$$



Come nello scattering eN

Compare il termine  $W_3$  come conseguenza del termine assiale nella corrente (V-A)

eN:

$$\frac{\alpha^2}{4E^2 \sin^4 \frac{\theta}{2}}$$

Le funzioni di struttura  $W_1, W_2, W_3$  sono funzioni di due variabili cinematiche indipendenti ad es.  $(Q^2, \nu)$ . Anche in questo caso, se l'interazione di neutrini è con i componenti elementari del nucleone (i quark) vale lo scaling di Bjorken:

$$MW_1(Q^2, \nu) \rightarrow F_1(x);$$

$$\nu W_2(Q^2, \nu) \rightarrow F_2(x) \text{ e } F_2 = 2xF_1;$$

$$\nu W_3(Q^2, \nu) \rightarrow F_3(x)$$

$$x = \frac{-q^2}{2q \cdot p} \xrightarrow{LAB} \frac{-q^2}{2M(E - E')}$$

$$y = \frac{q \cdot p_2}{p_1 \cdot p_2} \xrightarrow{LAB} \frac{E - E'}{E}$$

$$\frac{d\sigma}{dx dy} = \frac{G^2 s}{2\pi} \left\{ F_2 \frac{1+(1-y)^2}{2} + x F_3 \frac{1-(1-y)^2}{2} \right\}$$

Per un  $\bar{\nu}$  incidente (invece di un  $\nu$ )  $F_3 \rightarrow -F_3$  ( $\gamma_5 \rightarrow -\gamma_5$ ): *proiettore destrorso*  $\frac{(1+\gamma_5)}{2}$

Un po' di cinematica:

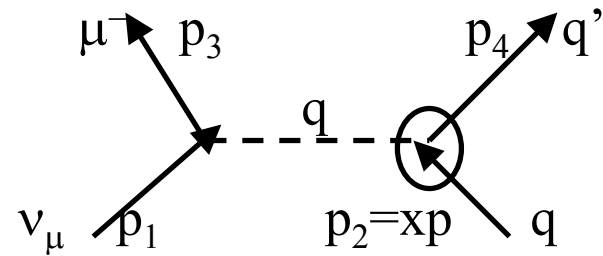
interazione neutrino-quark:

$\hat{t}, \hat{s}$  variabili di Mandelstam nel c.m. ( $\nu q$ )

$\hat{\theta}$  angolo di scattering nel c.m. ( $\nu q$ )

$$y = \frac{\nu}{E} = \frac{2M\nu}{2ME} = \frac{2M\nu}{s} = \frac{Q^2}{xs} = \frac{-(p_1 - p_3)^2}{xs} = -\frac{\hat{t}}{\hat{s}}$$

$$\xrightarrow{\text{c.m.}} \frac{\hat{s}(1 - \cos \hat{\theta})}{2\hat{s}} = \frac{(1 - \cos \hat{\theta})}{2} = \sin^2 \frac{\hat{\theta}}{2}$$



$$\hat{s} = (xp + p_1)^2 \approx x^2 p_1 p = xs \text{ (trascurando le masse)}$$

Torniamo a:  $\nu_\mu + e^- \rightarrow \mu^- + \nu_e$  o anche  $\nu_\mu + d \rightarrow \mu^- + u$

$$\frac{d\sigma}{d\Omega} = (\text{c.m.}) = \frac{1}{2} \left[ \frac{g_w^2 E}{4\pi M_w^2} \right]^2 = \frac{G^2 (2E)^2}{4\pi^2} = \frac{G^2 s}{4\pi^2} \quad \frac{d\sigma}{dy} = 2 \frac{d\sigma}{d \cos \hat{\theta}} = 4\pi \frac{d\sigma}{d\Omega} = \frac{1}{\pi} G^2 s \text{ (uniforme in } y)$$

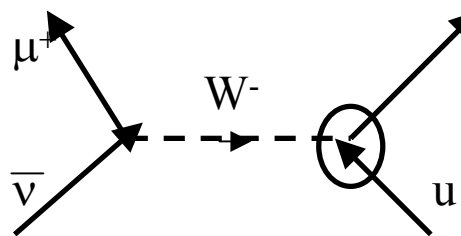
Andiamo nel laboratorio dove  $s=2ME$ :

$$\frac{d\sigma}{dy} = \frac{2}{\pi} G^2 ME = \frac{G^2 s}{\pi} \text{ (uniforme in } y)$$

N.B. Sono passato dal c.m. al lab. conservando la uniformita in  $y$  perchè  $y$  è invariante di Lorentz;

**Non è vero per  $d\sigma/d\Omega$**

Nel caso di scattering di antineutrino:  $\bar{\nu}_\mu + e^- \rightarrow \mu^+ + \nu_e$  o anche:  $\bar{\nu}_\mu + u \rightarrow \mu^+ + d$

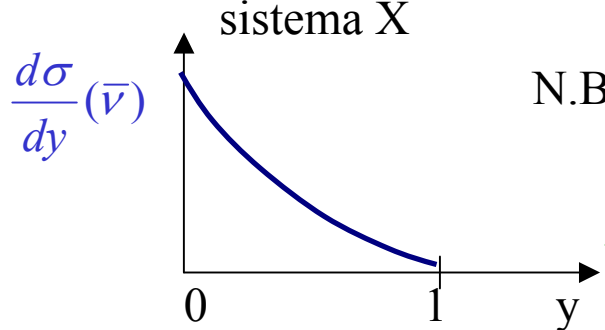
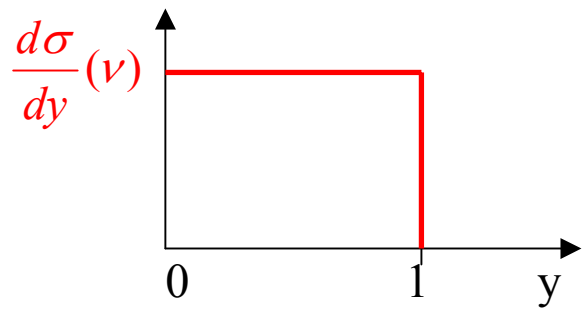


$$d \frac{d\sigma}{d\Omega}(\bar{\nu}) = \frac{G^2}{4\pi^2} \frac{s}{2} (1 + \cos\theta)^2 = \frac{G^2}{4\pi^2} \frac{u^2}{s}$$

$$\Rightarrow \frac{d\sigma}{dy} |_{\bar{\nu}} = \frac{1}{\pi} G^2 s (1-y)^2$$

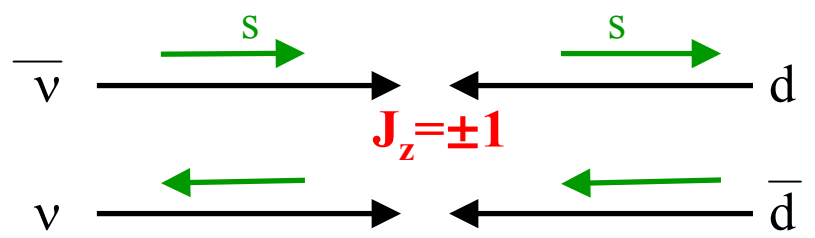
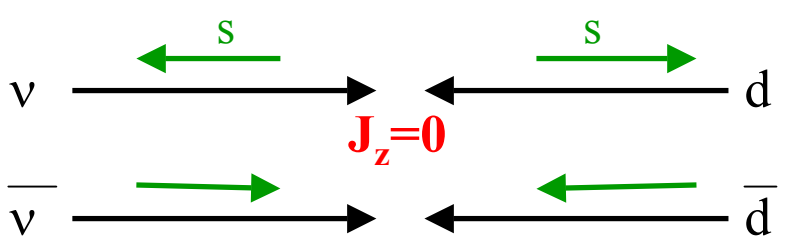
$$u = -\frac{s}{2}(1 + \cos\theta) = -s(1-y), d \cos\theta = -2dy$$

$y$  è l'energia (frazionaria rispetto a quella incidente) presa dal sistema X



N.B.  $y=1 \Rightarrow \cos\hat{\theta} = -1$ :  
*back scattering*

Perchè questa differenza nella distribuzione angolare ( $y$ )? Andiamo nel c.m.:



Nel caso di antineutrino-quark o neutrino-antiquark uno scattering a  $180^\circ$  è impossibile per la conservazione del momento angolare

$$\Rightarrow \sigma(\nu q) = \sigma(\bar{\nu} \bar{q}) = 3\sigma(\bar{\nu} q) = 3\sigma(\nu \bar{q})$$

# Interazioni neutrini-quark

$$S \rightarrow \widehat{S} = \chi S$$

Pr *ocesso* elementare

|  | $\frac{d\sigma}{dy}$        | $\sigma$                 |   |
|--|-----------------------------|--------------------------|---|
|  | $\frac{G^2 \chi s}{\pi}$    | $\frac{G^2 \chi s}{\pi}$ |   |
| $\nu_\mu d \rightarrow u \mu^-, \bar{\nu}_\mu \bar{d} \rightarrow \bar{u} \mu^+$ | $\cos^2 \theta_C$           | $\cos^2 \theta_C$        |   |
| $\nu_\mu s \rightarrow u \mu^-, \bar{\nu}_\mu \bar{s} \rightarrow \bar{u} \mu^+$ | $\sin^2 \theta_C$           | $\sin^2 \theta_C$        |   |
| $\nu_\mu \bar{u} \rightarrow \bar{d} \mu^-, \bar{\nu}_\mu u \rightarrow d \mu^+$ | $(1 - y)^2 \cos^2 \theta_C$ | $1/3 \cos^2 \theta_C$    |   |
| $\nu_\mu \bar{u} \rightarrow \bar{s} \mu^-, \bar{\nu}_\mu u \rightarrow s \mu^+$ | $(1 - y)^2 \sin^2 \theta_C$ | $1/3 \sin^2 \theta_C$    |   |
| $\nu_\mu u \rightarrow d \mu^+, \bar{\nu}_\mu \bar{u} \rightarrow \bar{d} \mu^-$ | 0                           | 0                        | } |
| $\nu_\mu u \rightarrow s \mu^+, \bar{\nu}_\mu \bar{u} \rightarrow \bar{s} \mu^-$ | 0                           | 0                        |   |
| $\nu_\mu u \rightarrow d \mu^-, \bar{\nu}_\mu \bar{u} \rightarrow \bar{d} \mu^+$ | 0                           | 0                        | } |
| $\nu_\mu u \rightarrow s \mu^-, \bar{\nu}_\mu \bar{u} \rightarrow \bar{s} \mu^+$ | 0                           | 0                        |   |

Lo scattering di neutrino su nucleone può essere scritto come sovrapposizione **incoerente** di scattering su quark e antiquark pesato con la sezione d'urto e la densità di quark e antiquark .

$$\frac{d\sigma}{dxdy} = \frac{2G^2 ME}{\pi} \{xQ(x) + x\bar{Q}(x)(1-y)^2\} (\cos\theta_C = 1, 2ME x = \hat{s})$$

$$\frac{d\sigma}{dxdy} = \frac{G^2 2ME}{2\pi} \{(F_2(x) + xF_3(x)) + (F_2(x) - xF_3(x))(1-y)^2\}$$

Per cui

$$F_2^{\nu N}(x) = 2x[Q(x) + \bar{Q}(x)]$$

$$xF_3^{\nu N}(x) = 2x[Q(x) - \bar{Q}(x)]$$

Separando tra neutroni e protoni e assumendo  $d^n(x) = u(x), u^n(x) = d(x)$

$$F_2^{\nu p}(x) = 2x[d(x) + \bar{u}(x)]$$

$$F_2^{\nu n}(x) = 2x[u(x) + \bar{d}(x)]$$

$$F_3^{\nu p}(x) = 2[d(x) - \bar{u}(x)]$$

$$F_3^{\nu n}(x) = 2[u(x) - \bar{d}(x)]$$

$\implies$  Le funzioni di struttura di neutrino sono  
 $\implies$  sensibili al contenuto di antiquark di protone  
 $\implies$  e neutrone

Se il protone è (uud) l'eccesso di u rispetto a antiu è 2 e quello di d rispetto a antid è 1:

$$\int_0^1 dx [u(x) - \bar{u}(x)] = 2; \int_0^1 dx [d(x) - \bar{d}(x)] = 1$$

Su targhetta isoscalare:

$$3 = \int_0^1 dx [u(x) + d(x) - \bar{u}(x) - \bar{d}(x)] = \frac{1}{2} \int_0^1 dx [F_3^{vp} + F_3^{vn}] = \int_0^1 dx F_3^{vN}$$

Regola di somma di Gross-Llewellyn Smith; sperim. =  $3.2 \pm 0.5$

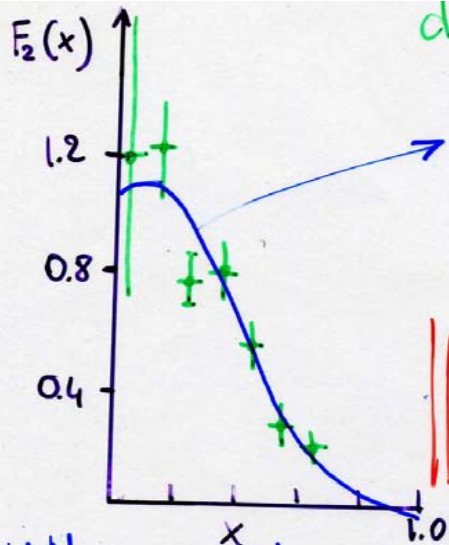
Nel caso elettromagnetico: ( $F_2(x) = x \sum_i Q_i^2 f_i(x)$ ):

$$\begin{aligned} F_2^{eN} &= \frac{1}{2} (F_2^{ep} + F_2^{en}) = \frac{1}{2} x \left\{ \frac{4}{9} [u(x) + \bar{u}(x)] + \frac{1}{9} [d(x) + \bar{d}(x) + s(x) + \bar{s}(x)] + \frac{4}{9} [d(x) + \bar{d}(x)] + \frac{1}{9} [u(x) + \bar{u}(x) + s(x) + \bar{s}(x)] \right\} = \\ &= \frac{5}{18} x(u + \bar{u} + d + \bar{d}) + \frac{1}{9} x(s + \bar{s}) \end{aligned}$$

Nel caso di interazioni di neutrino:  $F_2^{vN} = \frac{1}{2} [F_2^{vp} + F_2^{vn}] = x(u + d + \bar{u} + \bar{d})$

Trascurando il contributo degli s, su targhetta isoscalare  
Sensibile alla carica elettrica dei quark.

$$\frac{F_2^{vN}}{F_2^{eN}} = \frac{18}{5}$$

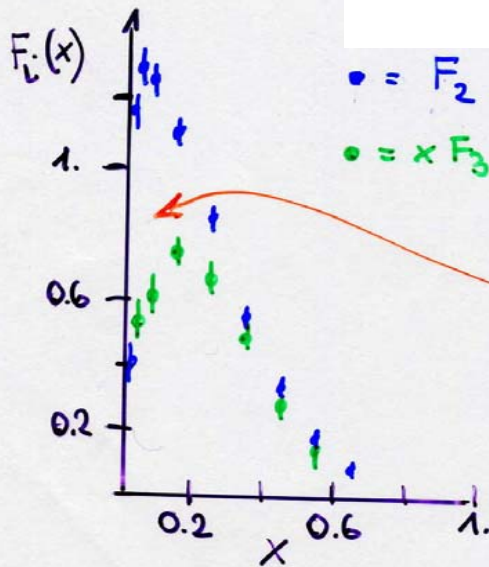


Dati sperimentali  $F_2^{\nu N}$

Dati sperimentali  $F_2^{eN}$  dopo il fit e scalati di 18/15

E' corretta l'assegnazione della carica elettrica dei quark

$(F_2^{\nu N} - xF_3^{\nu N})$  estrae le distribuzioni di  $x\bar{q}(x):x(\bar{u}(x),\bar{d}(x))$

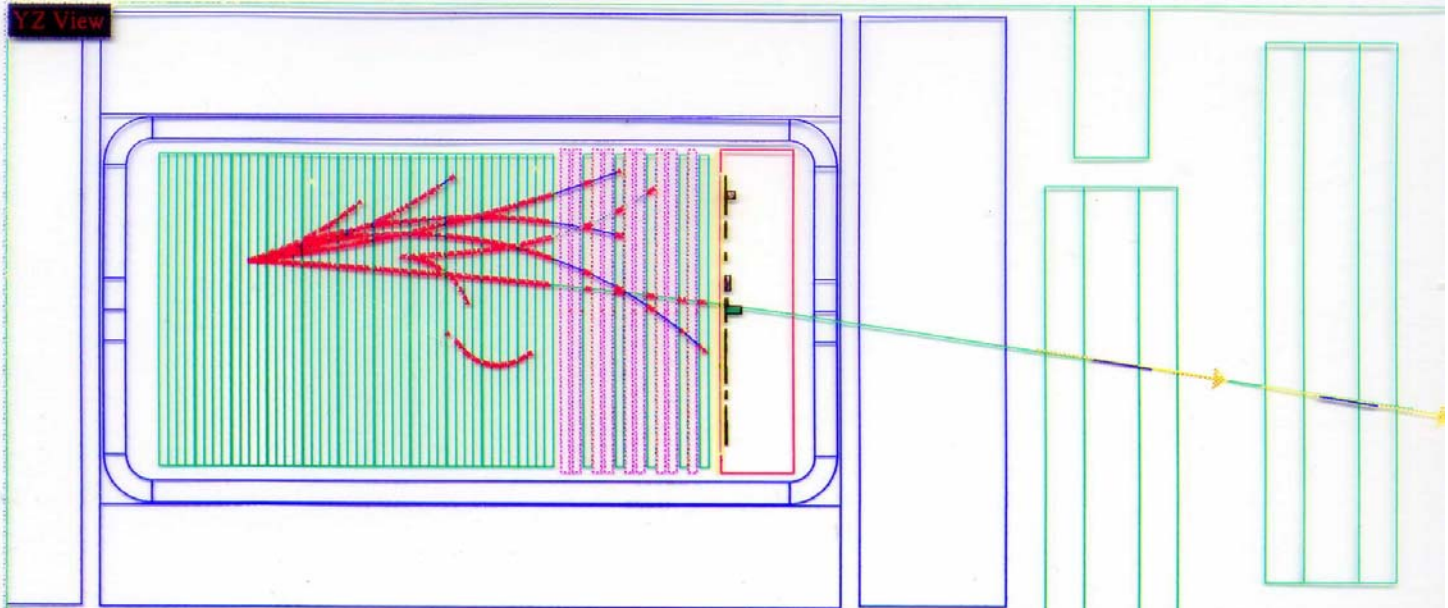


$30 < E_\nu < 200 \text{ GeV}$

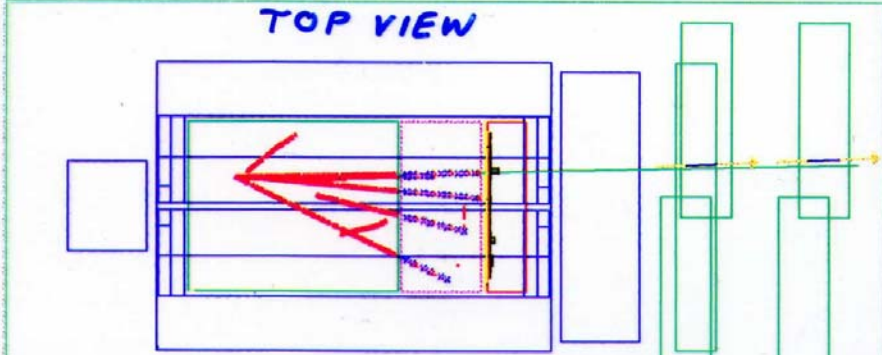
La distribuzione dei quark di mare  $xq(x)$  è concentrata a piccoli  $x$

$$V_H + W \rightarrow V_V + X$$

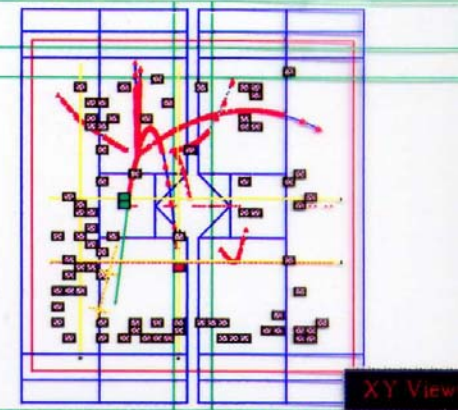
SIDE VIEW (L to  $\vec{B}$ )



TOP VIEW



$\vec{B}$  ↑



END VIEW

$\nu_\mu$  da  $\pi^+ \rightarrow \mu^+ \nu_\mu, K^+ \rightarrow \mu^+ \nu_\mu$

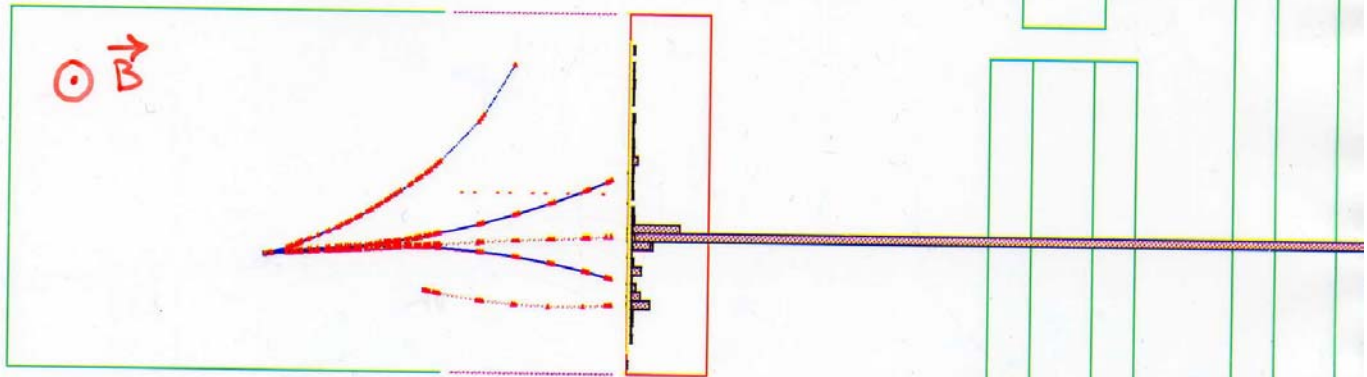
$\nu_e$  da  $K_{e3}$ :  
 $\left\{ \begin{array}{l} K^+ \rightarrow \pi^0 e^+ \nu_e \\ K^- \rightarrow \pi^0 e^- \nu_e \end{array} \right.$

NOMAD

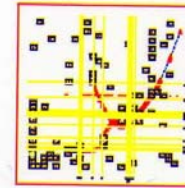
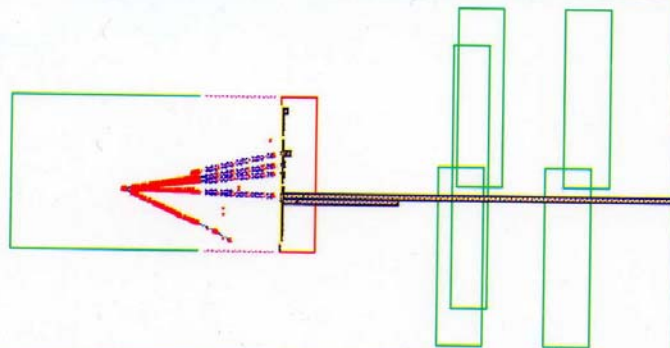
$\nu_e$  CC interaction

$\nu_e + N \rightarrow e^- + X$   
 $E_{\nu_e} \sim 30 \text{ GeV}$

YZ View



XZ View



XY View

# Interazioni DIS di antineutrini

Nel caso di interazioni  $\bar{\nu} N$ ,  $F_3 \rightarrow -F_3$  ( $1-\gamma_5$ )

$$\frac{d\sigma}{dxdy}(\bar{\nu}N) = \frac{G^2 2ME}{2\pi} \left\{ (F_2(x) - xF_3(x)) + (F_2(x) + xF_3(x))(1-y)^2 \right\}$$

Ora la distribuzione in  $y$  è piatta sugli antiquark e va come  $(1-y)^2$  sui quark:

$$\frac{d\sigma}{dxdy}(\bar{\nu}N) = \frac{2G^2 ME}{\pi} \left\{ x\bar{Q}(x) + xQ(x)(1-y)^2 \right\}$$

Da cui ancora:

$$F_2^{\bar{\nu}N}(x) = 2x[\bar{Q}(x) + Q(x)] \text{ se } N = p$$
$$xF_3^{\bar{\nu}p}(x) = 2x[\bar{d}(x) + u(x)]$$

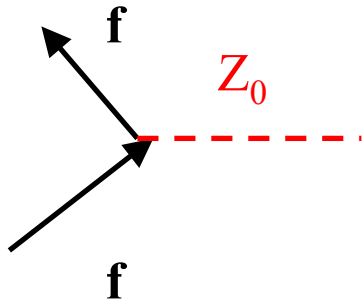
Allora:

$$I_A \equiv \int_0^1 \frac{F_2^{\bar{\nu}p} - F_2^{\nu p}}{x} dx = 2 \int \left\{ [\bar{d}(x) - d(x)] + [u(x) - \bar{u}(x)] \right\} dx = 2$$

**Regola di somma di Adler: sperimentalmente  $I_A = 2.202 \pm 0.4$**

N.B. La misura è difficile: su targhetta isoscalare (o approssimata)  $I_A \sim 0$

# Correnti deboli neutre



**Mediatore un bosone massivo neutro:  $Z_0$**

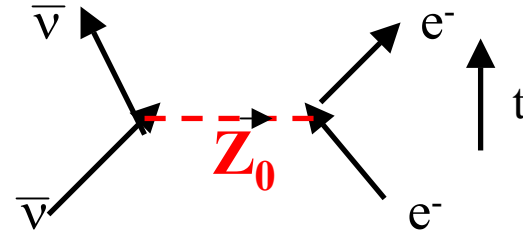
Il fermione iniziale è eguale a quello finale:

$$\mu^- \not\rightarrow e^- Z_0; s \not\rightarrow d Z_0$$

1973: eventi:

$\bar{\nu}_\mu e \rightarrow \bar{\nu}_\mu e$  evento con un elettrone singolo

$\bar{\nu}_\mu N \rightarrow \bar{\nu}_\mu N; \nu_\mu N \rightarrow \nu_\mu N$  con adroni



Le sezioni d'urto per processi deboli neutri sono circa 1/3 di quelli equivalenti di corrente carica e esiste anche un'ulteriore complicazione la corrente non è pura (V-A) ( $\gamma_\mu(1-\gamma_5)$ ):

$$-i \frac{g_Z}{2} \gamma_\mu [C_V^f - C_A^f \gamma_5]$$

Con i coefficienti  $C_V$  e  $C_A$  che dipendono dal tipo  $f$  di fermione in gioco

Occorre un modello elettrodebole unificato (GWS): si introduce un nuovo parametro:  $\theta_W$  che lega  $g_W, g_Z$  e  $e$ :

$$g_e = e; g_W = \frac{g_e}{\sin \theta_W}; g_Z = \frac{g_e}{\sin \theta_W \cos \theta_W}$$

I leptoni e i quark sono organizzati in doppietti di isospin debole ( $T, T_3$ ):

$$T_3 = 1/2$$

$$T_3 = -1/2$$

$$\begin{bmatrix} \nu_e \\ e \end{bmatrix} \begin{bmatrix} \nu_\mu \\ \mu \end{bmatrix} \begin{bmatrix} \nu_\tau \\ \tau \end{bmatrix} \begin{bmatrix} u \\ d \end{bmatrix} \begin{bmatrix} c \\ s \end{bmatrix} \begin{bmatrix} t \\ b \end{bmatrix}$$

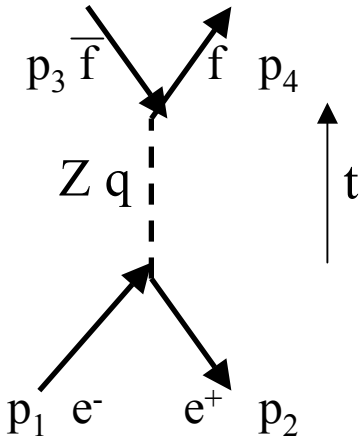
$$C_V^i = T_3 - 2q_i \sin^2 \theta_W; \text{ ex: } C_V^v = \frac{1}{2}, C_V^e = -\frac{1}{2} + 2 \sin^2 \theta_W; C_V^u = -\frac{1}{2} - \frac{4}{3} \sin^2 \theta_W, C_V^d = -\frac{1}{2} + \frac{2}{3} \sin^2 \theta_W$$

$$C_A^i = T_3^i; \text{ ex. } C_A^v = C_A^u = \frac{1}{2}; C_A^e = C_A^d = -\frac{1}{2}$$

Anche  $M_W$  e  $M_Z$  sono connesse:  $M_W = M_Z \cos \theta_W$ ;  $g_W^2 = \frac{e^2}{\sin^2 \theta_W} = \frac{4\pi\alpha}{\sin^2 \theta_W}$ ,  $\frac{G_F}{\sqrt{2}} = \frac{g_W^2}{8M_W^2} \Rightarrow$

$$\Rightarrow M_W = \left[ \frac{\pi\alpha}{G_F \sin^2 \theta_W \sqrt{2}} \right]^{1/2} \approx 80 \text{ GeV}$$

Produciamo lo Z:  $e^+e^- \rightarrow Z \rightarrow f\bar{f}$ ;  $q\bar{q} \rightarrow Z \rightarrow f\bar{f}$  (in interazioni adroniche)

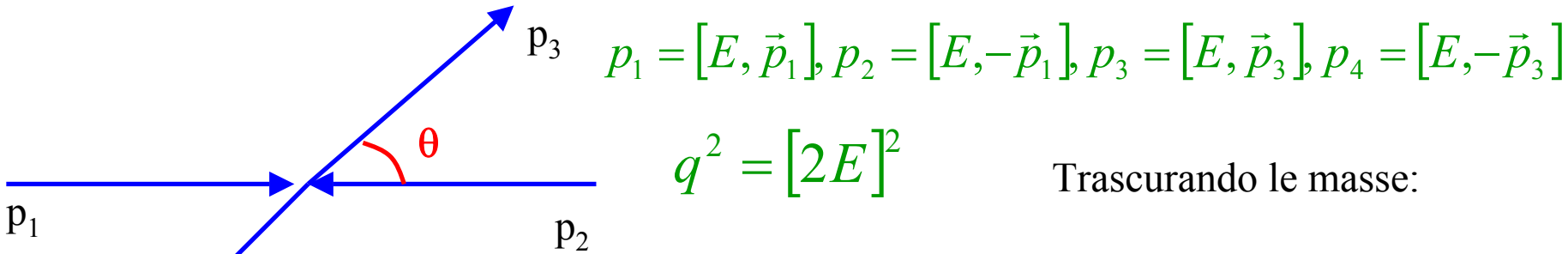


$$M = \frac{-g_Z}{4(q^2 - M_Z^2)} \left[ \bar{u}(4) \gamma^\mu (C_V^f - C_A^f \gamma^5) v(3) \right]$$

$$\left[ g_{\mu\nu} - \frac{q_\mu q_\nu}{M_Z^2} \right] \left[ \bar{v}(2) \gamma^\nu (C_V^e - C_A^e \gamma^5) u(1) \right]$$

Come in  $e^+e^- \rightarrow \gamma \rightarrow \mu^+\mu^-$

$$|M|^2 = \frac{1}{2} \left[ \frac{g_Z^2}{q^2 - M_Z^2} \right]^2 \left\{ (C_V^{f2} + C_A^{f2})(C_V^{e2} + C_A^{e2}) \cdot [(p_1 \cdot p_3)(p_2 \cdot p_4) + (p_1 \cdot p_4)(p_2 \cdot p_3)] + \right. \\ \left. 4C_V^f C_A^f C_V^e C_A^e [(p_1 \cdot p_3)(p_2 \cdot p_4) - (p_1 \cdot p_4)(p_2 \cdot p_3)] \right\}$$



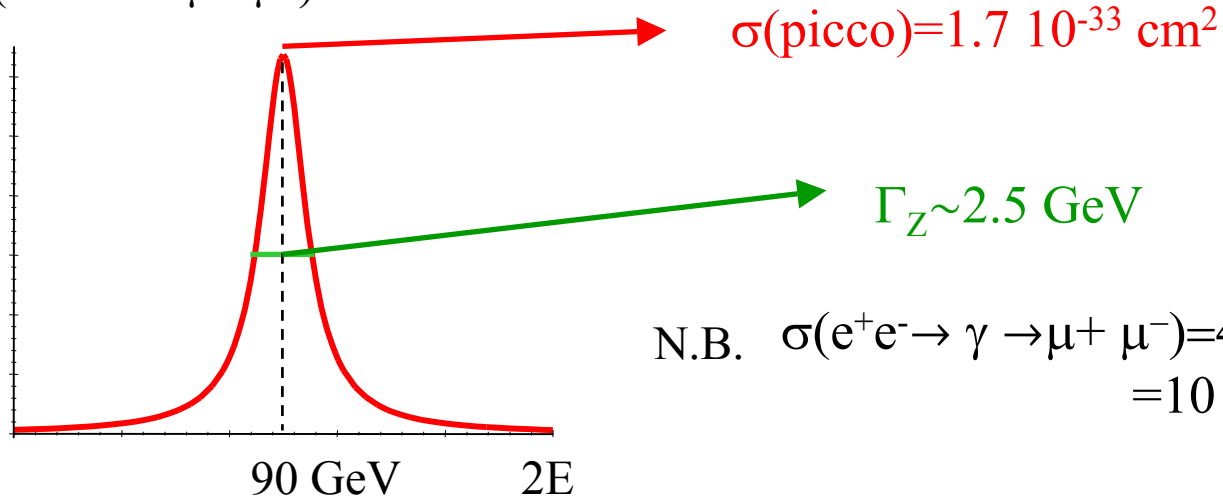
$$|M|^2 = \left[ \frac{g_Z^2 E^2}{(2E)^2 - M_Z^2} \right]^2 \left\{ (C_V^{f2} + C_A^{f2}) \cdot (C_V^{e2} + C_A^{e2})(1 + \cos^2 \theta) - \right. \\ \left. - 8C_V^f C_A^f C_V^e C_A^e \cos \theta \right\}$$

$$\frac{d\sigma}{d\Omega} = \left( \frac{1}{8\pi} \right)^2 \frac{|M|^2}{(E_1 + E_2)^2} \frac{|\vec{p}_f|}{|\vec{p}_i|} = \frac{g_Z^4 E^2}{16\pi [(2E)^2 - M_Z^2]^2 + (M_Z \Gamma_Z)^2} \left\{ (C_V^{f2} + C_A^{f2}) \cdot (C_V^{e2} + C_A^{e2})(1 + \cos^2 \theta) - \right. \\ \left. - 8C_V^f C_A^f C_V^e C_A^e \cos \theta \right\}$$

Propagatore particella instabile:  $\Gamma_Z$

$$\sigma = \int_{-1}^1 \frac{d\sigma}{d\Omega} d \cos \theta = \frac{g_Z^4 E^2 (C_V^{f2} + C_A^{f2})(C_V^{e2} + C_A^{e2})}{48\pi [(2E)^2 - M_Z^2]^2 + (M_Z \Gamma_Z)^2}$$

$$\sigma(e^+e^- \rightarrow Z \rightarrow \mu^+ \mu^-)$$



N.B.  $\sigma(e^+e^- \rightarrow \gamma \rightarrow \mu^+ \mu^-) = \frac{4}{3} \frac{\alpha^2}{s} = \frac{4}{3} \frac{\alpha^2}{(90 \text{ GeV})^2} = 10 \cdot 10^{-36} \text{ cm}^2$

Distribuzione angolare in  $e^+e^- \rightarrow Z \rightarrow \mu^+ \mu^-$

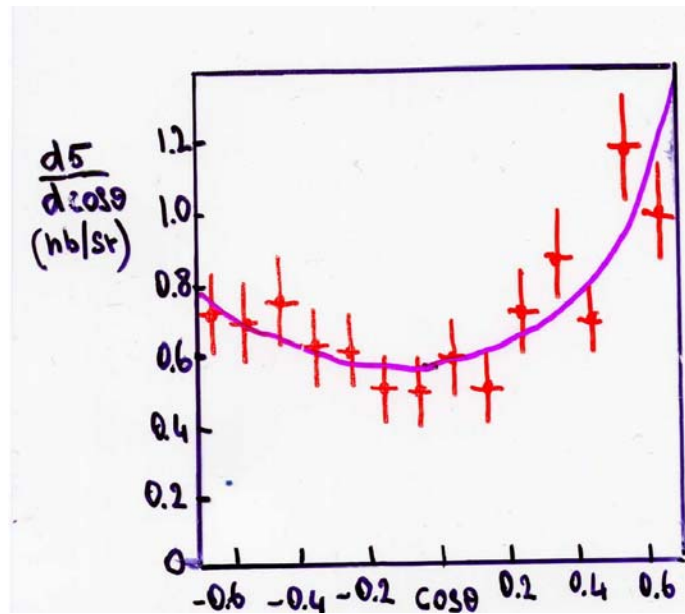
$$\frac{d\sigma}{d\Omega} = K \left\{ (1 + \cos^2 \theta) + \frac{8C_V^f C_A^f C_V^e C_A^e \cos \theta}{(C_V^{f2} + C_A^{f2}) \cdot (C_V^{e2} + C_A^{e2})} \right\}$$

N.B. Ora  $\theta$  è l'angolo tra il fermione e  $e^-$

definiamo:  $A_e = \frac{2C_V^e C_A^e}{C_V^{e2} + C_A^{e2}}$ ;  $A_f = \frac{2C_V^f C_A^f}{C_V^{f2} + C_A^{f2}}$

$$\frac{d\sigma}{d\Omega} = K \{ 1 + \cos^2 \theta + 2A_e A_f \cos \theta \}$$

$$A_{FB} = \frac{\int_0^1 \frac{d\sigma}{d\Omega} - \int_{-1}^0 \frac{d\sigma}{d\Omega}}{\int_0^1 \frac{d\sigma}{d\Omega} + \int_{-1}^0 \frac{d\sigma}{d\Omega}} = \frac{3}{4} A_e A_f$$



Dati LEP:  $e^+ e^- \rightarrow \mu^+ \mu^-$

$$C_V^e = C_V^\mu = -\frac{1}{2} + 2 \sin^2 \theta_W, \text{ se } \sin^2 \theta_W = 0.23 \Rightarrow C_V^e = -0.04 \text{ (piccolo)} \Rightarrow$$

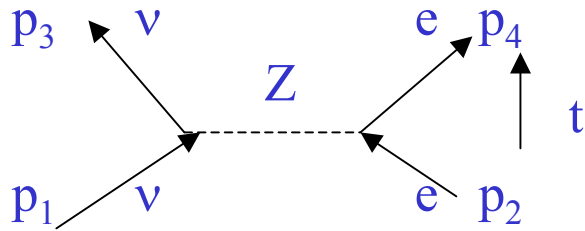
$$A_{FB}^{\text{misurato}} = (2.52 \pm 0.06)\%$$

$$\Rightarrow C_A = -0.51 \pm 0.002; C_V = -0.045 \pm 0.006 \text{ (media LEP)}$$

Converrebbe usare i quark d,s, **b**:  $A_{FB}^b \sim 12\%$ .

$$C_V^b = -\frac{1}{2} + \frac{2}{3} \sin^2 \theta_W, C_A^b = -\frac{1}{2}$$

# Scattering elastico $\nu_\mu e^- \rightarrow \nu_\mu e^-$



Stessa ampiezza dell'annichilazione  $e^+e^- \rightarrow \bar{f}f$   
 con  $\mathbf{p}_2 \Leftrightarrow -\mathbf{p}_3$  e  $C_A^{l=1/2}, C_V^{l=1/2}$  ( $l=\nu$ )

$$|M|^2 = \frac{1}{2} \left[ \frac{g_Z^2}{M_Z^2} \right]^2 \left\{ (C_V^2 + C_A^2) \cdot [(p_1 \cdot p_2)(p_3 \cdot p_4) + (p_1 \cdot p_4)(p_2 \cdot p_3)] + \right. \\ \left. + C_V C_A [(p_1 \cdot p_2)(p_3 \cdot p_4) - (p_1 \cdot p_4)(p_2 \cdot p_3)] \right\}$$

Propagatore semplificato

$$|M|^2 = \frac{1}{2} \left[ \frac{g_Z^2}{M_Z^2} \right]^2 \left\{ (C_V + C_A)^2 \cdot (p_1 \cdot p_2)(p_3 \cdot p_4) + (C_V - C_A)^2 (p_1 \cdot p_4)(p_2 \cdot p_3) \right\}$$

Andiamo nel c.m.  $p_1 = [E, \vec{p}_1], p_2 = [E, -\vec{p}_1], p_3 = [E, \vec{p}_3], p_4 = [E, -\vec{p}_3]$

$(p_1 \cdot p_2)(p_3 \cdot p_4) = 2E^2 2E^2$   $(p_1 \cdot p_4)(p_3 \cdot p_2) = E^4 (1 + \cos\theta)^2 = 4E^4 \cos^4 \frac{\theta}{2}$   $\theta$  angolo tra i due  $\nu$

$$E_1 = E_2 = E = |\vec{p}_f| = |\vec{p}_i|$$

$$|M|^2 = 2 \left[ \frac{g_Z^2 E^2}{M_Z^2} \right]^2 \left\{ (C_V + C_A)^2 + (C_V - C_A)^2 \cos^4 \frac{\theta}{2} \right\}$$

$$\frac{d\sigma}{d\Omega} = \left( \frac{1}{8\pi} \right)^2 \frac{|M|^2}{(E_1 + E_2)^2} \frac{|\vec{p}_f|}{|\vec{p}_i|} = \frac{2g_Z^4 E^2}{\pi^2 [4M_Z^2]^4} [(C_V + C_A)^2 + (C_V - C_A)^2 \cos^4 \frac{\theta}{2}]$$

Nel caso di  $\nu_\mu e^- \rightarrow \mu^- \nu_e$   
 corrente carica era  
 indipendente da  $\theta$

$$\sigma_{el}^{ve} = \frac{2}{3\pi} \left( \frac{g_Z}{2M_Z} \right)^4 E^2 (C_V^2 + C_A^2 + C_V C_A)$$

$$se: C_V^e = -\frac{1}{2} + 2 \sin^2 \theta_W, C_A^e = -\frac{1}{2} \quad \sigma_{el}^{ve} = \frac{2}{3\pi} \left( \frac{g_Z}{2M_Z} \right)^4 E^2 (3/4 - 2 \sin^2 \theta_W + 4 \sin^4 \theta_W)$$

Da paragonare a  $\sigma(\nu_\mu e \rightarrow \mu^- \nu_e) = \frac{1}{8\pi} \left( \frac{g_W}{M_W} \right)^4 E^2$

$$con \quad g_Z = \frac{g_W}{\cos \theta_W}; M_Z = \frac{M_W}{\cos \theta_W}$$

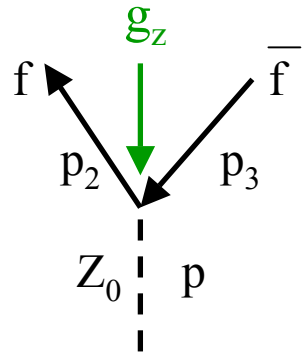
$$\frac{\sigma(ve \rightarrow ve)}{\sigma(ve \rightarrow \mu \nu_e)} = \frac{1}{4} - \sin^2 \theta_W + \frac{4}{3} \sin^4 \theta_W$$

Sensibile all'angolo di Weinberg: se  $\sin^2 \theta_W = 0.23$

$$\frac{\sigma(ve \rightarrow ve)}{\sigma(ve \rightarrow \mu \nu_e)} \equiv \frac{\sigma^{NC}}{\sigma^{CC}} = 0.09 \quad \text{In accordo con i dati sperimentali}$$

Esercizio: se l'interazione è su nucleoni (quark) quanto vale  $\frac{\sigma^{NC}}{\sigma^{CC}}$  ?

# Larghezze parziali dei bosoni W,Z



$$M = \frac{-ig_Z}{2} \varepsilon^\mu \left[ \bar{u}(p_2) \gamma_\mu (C_V^f - C_A^f \gamma_5) v(p_3) \right]$$

Modulo quadro e somma spin fermioni e media spin  $Z_0$

$$|M|^2 = \frac{g_Z^2}{3} [(C_V^{f2} + C_A^{f2})] M_Z^2; \text{ abbiamo trascurato le masse finali: } |\vec{p}_2| = \frac{M_Z}{2}$$

$$\Gamma = \frac{1}{8\pi} \frac{1}{M_Z} |M|^2 \frac{|\vec{p}_2|}{M_Z} = \frac{1}{48} \frac{g_Z^2}{\pi} [C_A^{f2} + C_V^{f2}] M_Z =$$

$$\frac{1}{48\pi} \frac{g_W^2 M_Z}{\cos^2 \theta_W} [C_A^{f2} + C_V^{f2}] = \frac{G}{6\sqrt{2}\pi} \frac{M_W^2}{\cos^2 \theta_W} M_Z [C_A^{f2} + C_V^{f2}] \Rightarrow$$

$$\Gamma_Z = \frac{G}{6\sqrt{2}\pi} M_Z^3 [C_A^{f2} + C_V^{f2}]$$

Sensibile ai coefficienti  $C_A^f$  e  $C_V^f$

Con gli opportuni  $C_A$  e  $C_V$  dei vari fermioni:

$$\begin{array}{lcl}
 \Gamma(\nu\bar{\nu}) = \frac{GM_Z^3}{6\sqrt{2}\pi} \left[ \left(\frac{1}{2}\right)^2 + \left(\frac{1}{2}\right)^2 \right] & \text{COLORE} & = 166.2 \text{ MeV} \\
 \Gamma(l\bar{l}) = & " & \left[ \left(-\frac{1}{2}\right)^2 + \left(-\frac{1}{2} + 2\sin^2\theta_W\right)^2 \right] \downarrow = 83.5 \text{ MeV} \\
 \Gamma(u\bar{u}, c\bar{c}) = & " & \left[ \left(\frac{1}{2}\right)^2 + \left(\frac{1}{2} - \frac{4}{3}\sin^2\theta_W\right)^2 \right] \times 3 = 295 \text{ MeV} \\
 \Gamma(d\bar{d}, s\bar{s}, b\bar{b}) = & " & \left[ \left(-\frac{1}{2}\right)^2 + \left(-\frac{1}{2} + \frac{2}{3}\sin^2\theta_W\right)^2 \right] \times 3 = 381 \text{ MeV}
 \end{array}$$

La larghezza totale dello Z dipende dal numero di famiglie dei fermioni:

per 3 famiglie di fermioni:  $\Gamma_Z(\text{tot}) = 2.478 \text{ GeV}$  (exp.  $2.490 \pm 0.007$ )

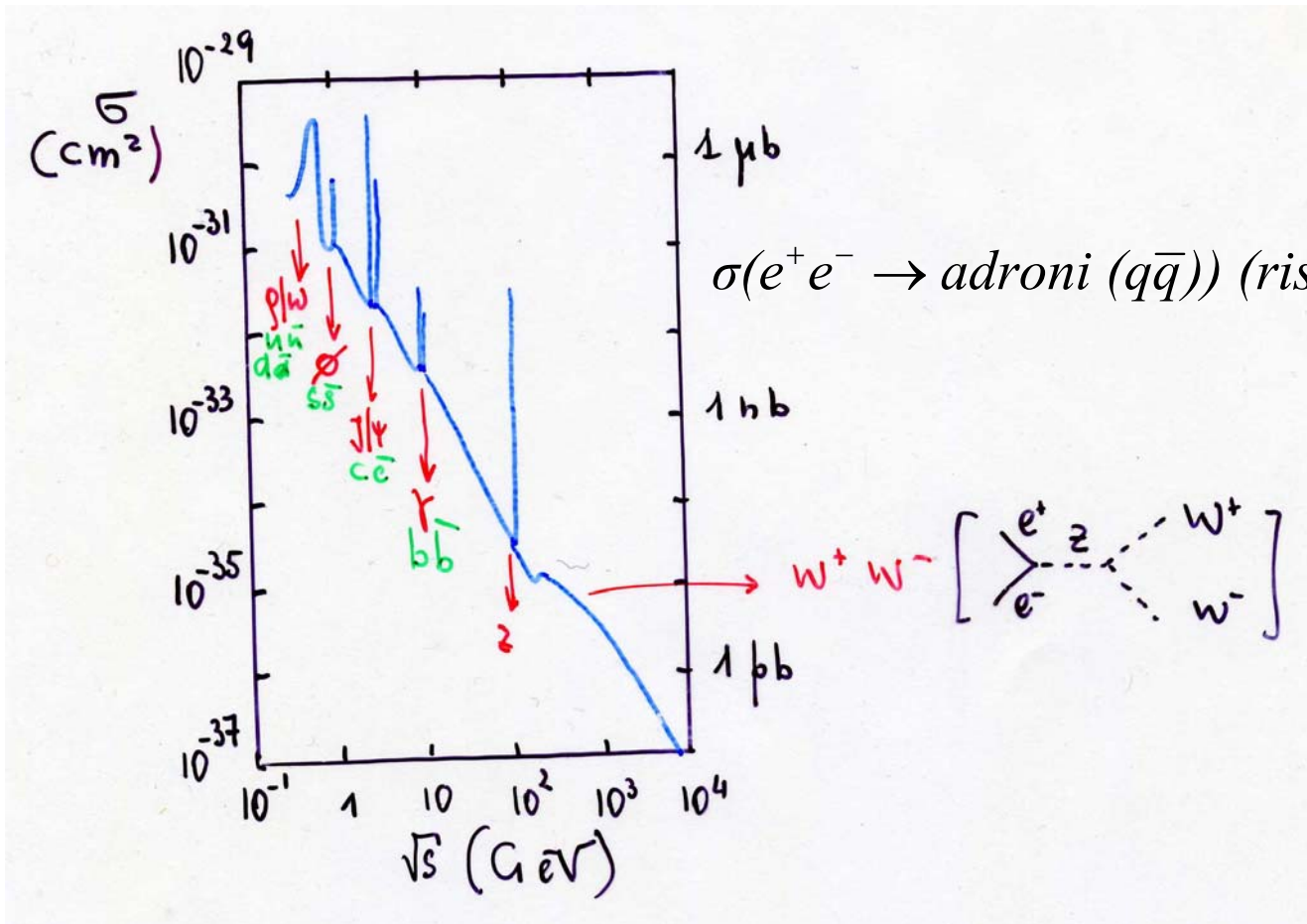
Un'ulteriore famiglia leptonica ( $\nu_X, X$ ) contribuirebbe con 166.2 MeV.

Il B.R. del canale leptone/antileptone (ex.  $e^+ e^-$ ) che è misurabile “facilmente” è solo il 3.3% ( $83.5 \text{ MeV}/2478 \text{ MeV}$ ).

Il canale “invisibile”  $\Gamma(Z \rightarrow \nu\bar{\nu})$  è circa il 20%.

$$\sigma(e^+e^- \rightarrow Z \rightarrow q\bar{q}(\text{adroni})) = \sigma(e^+e^- \rightarrow Z \rightarrow \mu^+\mu^-) \frac{\Gamma_{q\bar{q}}}{\Gamma_{\mu^+\mu^-}} =$$

$$1.74 \cdot 10^{-33} \frac{1733}{83.5} \approx 36 \cdot 10^{-33} \text{ cm}^2$$



# Ci sono altri $\nu$ oltre a $\nu_e \nu_\mu \nu_\tau$ ?

La distribuzione di massa di una risonanza è descritta da una Breit e Wigner:

$$P(m) = \frac{1}{2\pi} \frac{\Gamma}{\Gamma^2/4 + (m - m_0)^2}$$

Dove  $m_0$  è la massa della particella e  $\Gamma$  la sua larghezza totale: somma di tutte le larghezze parziali in tutti i possibili canali di decadimento:

$$\Gamma = \frac{1}{\tau} = 6.58 \cdot 10^{-22} \text{ MeV} \cdot \text{s} / \tau$$

La larghezza totale dello Z:  $\Gamma_Z$ :

$$\Gamma_Z = \Gamma(e^+e^-) + \Gamma(\mu^+\mu^-) + \Gamma(\tau^+\tau^-) + \\ + \Gamma(u\bar{u}) + \Gamma(d\bar{d}) + \Gamma(s\bar{s}) + \Gamma(c\bar{c}) + \Gamma(b\bar{b}) + \\ + N_\nu \times \Gamma(\nu\bar{\nu})$$

$N_\nu$  numero di tipi di neutrini (con  $m_\nu < Z/2$ ) ( $\Gamma(\nu\bar{\nu}) = 166.2 \text{ MeV}$  se  $m_\nu = 0$ )

Misura della larghezza dello Z  $\Leftrightarrow$  misura del numero di neutrini

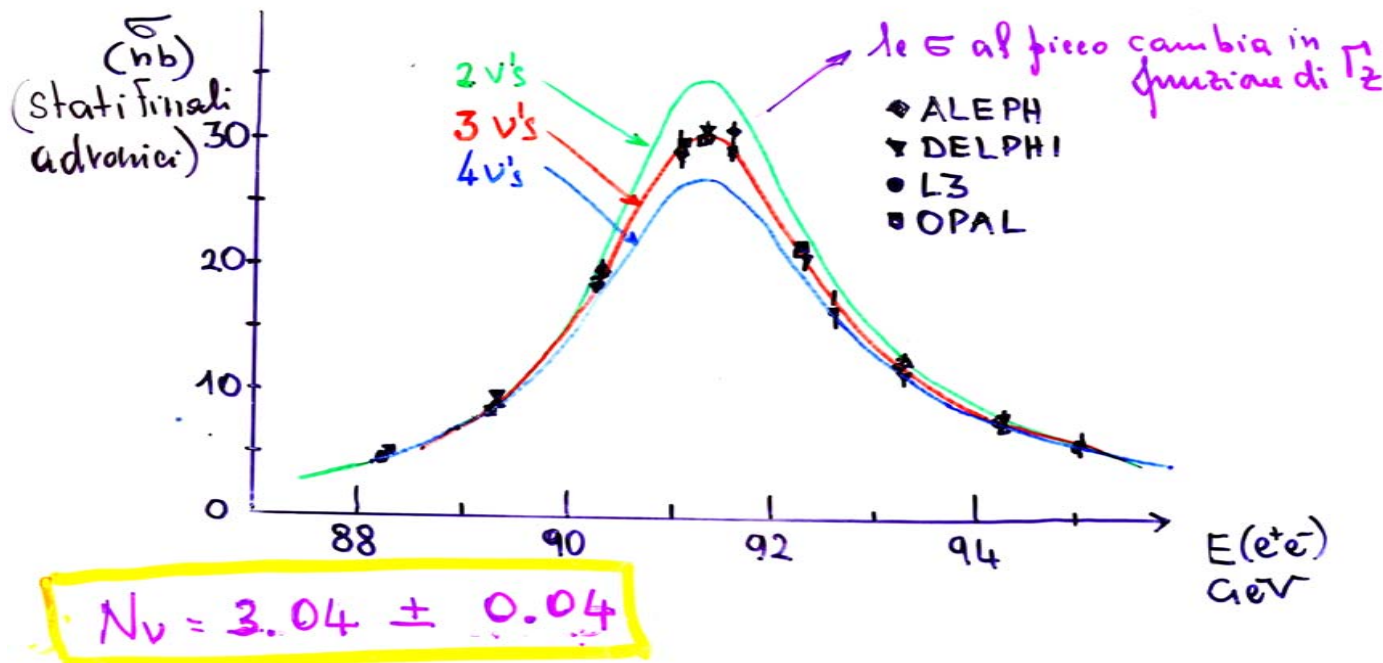
Sperimentalmente si costruisce la Breit/Wigner facendo uno scanning in energia di  $e^+e^- \rightarrow Z \rightarrow X$  e misurando la sezione d'urto di  $Z \rightarrow X$  attorno alla massa dello Z. La precisione con cui è conosciuta l'energia dei fasci è qualche MeV ( $\ll \Gamma_Z$ )

Oppure si può scegliere un canale specifico ex:

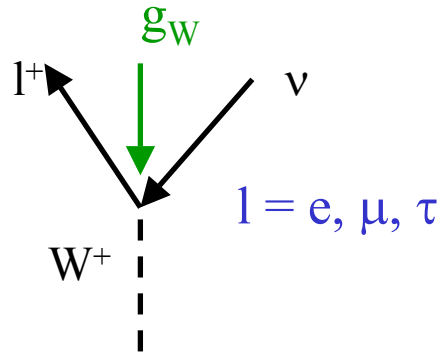
$$e^+e^- \rightarrow Z \rightarrow q\bar{q} \rightarrow \text{adroni}$$

La cui sezione d'urto in funzione di  $E(e^+e^-)$  è una Breit/Wigner proporzionale a:

$$e^+e^- \rightarrow Z \longleftarrow \Gamma(e^+e^-) \quad \frac{\Gamma(q\bar{q})}{\Gamma_Z} \longrightarrow \text{Frazione di decadimento In adroni rispetto al totale}$$



Il calcolo delle larghezze parziali del  $W^\pm$  in coppie di leptoni è del tutto analogo a quello per lo Z.



$$\Gamma(W^+ \rightarrow l^+ \nu_l) = \frac{GM_W^3}{6\sqrt{2}\pi} \approx 226 \text{ MeV}$$

$l = e, \mu, \tau$

Nel caso di decadimento in coppie di quark dobbiamo inserire il fattore di colore e l'elemento di matrice di CKM:

$$\Gamma(W^+ \rightarrow u\bar{d}) = 3 \frac{GM_W^3}{6\sqrt{2}\pi} [V_{ud}]^2 \approx 707 \text{ MeV}$$

$\rightarrow c\bar{s}$

$\rightarrow t\bar{b}$

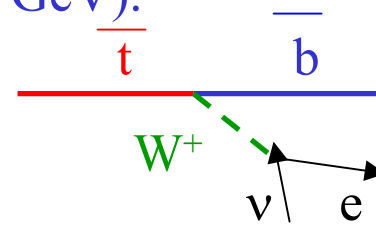
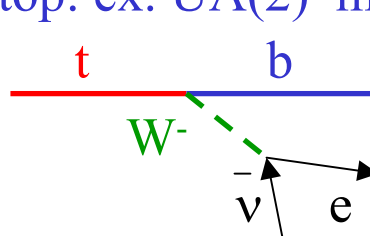
**VIETATO CINEMATICAMENTE**

$$\Gamma_W(tot) \approx 2100 \text{ MeV (exp. } 2.08 \pm 0.07 \text{ GeV)}$$

B.R. Nel canale leptonic “facile” ( $W^+ \rightarrow l^+ \nu$ ) ora è più favorevole (~10%) che per lo Z  
 Negli anni 80 e 90 è stato a lungo cercato  $W^+ \rightarrow t\bar{b}$  dalla mancanza di questi eventi  
 limite sulla massa del quark top: ex. UA(2)  $m_{top} > 69 \text{ GeV}$ ).

Se  $m_{top} > M_W$  si cercano:

$$\text{CDF+D0: } m_{top} = 174.3 \pm 5.1$$



**I W sono reali**

# Come si misurano W e Z?

## Collisioni leptoniche:

$e^+e^- \rightarrow Z \rightarrow f\bar{f}$  ( $\sqrt{s} \approx M_Z \approx 90 \text{ GeV}$ ) Anelli di collisione  $e^+e^-$  con  $L=10^{30}\text{-}10^{31} \text{ cm}^{-2}\text{s}^{-1}$   
LEP, SLC in un anno ( $10^7 \text{ s}$ )  $N_Z \sim 10^6$ .

$\bar{\nu}\mu^- \rightarrow W^- \rightarrow \bar{\nu}\mu^-$  ( $\sqrt{s} \approx M_W \approx 80 \text{ GeV}$ ) Impossibile un anello di collisione

Su bersaglio fisso deve essere:  $\hat{s} \approx (M_W)^2 = x \cdot 2ME_\nu$ ; ( $\nu_\mu d \rightarrow \mu^- u$ ),  $x = 1/6 \Rightarrow E_\nu = 20 \text{ TeV}$ !

Oppure  $e^+e^- \rightarrow W^+W^-$  con  $\sqrt{s} > 160 \text{ GeV}$  (ex a  $\sqrt{s} = 200 \text{ GeV}$   $\sigma=12 \text{ pb}$ )

## Collisioni adroniche (collisioni tra quark)

$$q\bar{q}(u\bar{u}, d\bar{d}, \dots) \rightarrow Z \rightarrow f\bar{f}$$

*(macchine di collisione  $p\bar{p}$ , ma anche  $pp$ )*

$$u\bar{d} \rightarrow W^+ \rightarrow l^+ \nu_l$$

-Non tutta l'energia del fascio ( $p$  o  $\bar{p}$ ) è utile per il processo elementare (lo è circa 1/6)

-A differenza dei processi leptonici ci sono interazioni competitive: quelle forti.

ex. in  $p\bar{p}$  a  $\sqrt{s} = 630 \text{ GeV}$ :  $\sigma_{tot} \approx 60 \text{ mb}$ ;  $\sigma(W \rightarrow e\nu) \approx 60 \cdot 10^{-8} \text{ mb}$

# Bibliografia

- **D.Perkins**, “Introduction to high energy physics”, quarta edizione Cambridge University Press, 1999;
- **D.Griffith**,”Introduction to elementary particles” Harper & Row, Publisher, New York, 1987;
- **I.J.Aitchison, A.J.G.Hey**, “Gauge theories in particle physics”, Institute of physics 2003.
- **L.B.Okun**, “Leptons and quarks” North Holland pub.